

# مطالعه‌ی اثر خواص بتن مادر در پارامترهای مکانیکی بتن بازیافتی

حسن صالحی<sup>\*</sup> (استادیار)

دانشکده‌ی هندسی مکانیک، دانشگاه پدافند هوایی خاتم الانبیاء (ص)

نادر بیگلری جو (مریب)

دانشکده‌ی هندسی عمران، دانشگاه عمران توسعه‌ی همدان

هوشگ بوخواری (استادیار)

دانشکده‌ی هندسی مکانیک، دانشگاه پدافند هوایی خاتم الانبیاء (ص)

مهمنگی عمده شدن، (پهار ۱۶۰) دوری ۲ - ۳، شماره ۱ / ۱۰ ص. ۴۷-۵۰، (پژوهشی)

با وجود انجام مطالعات فراوان در زمینه‌ی بتن‌های بازیافتی، تاکنون درخصوص تأثیر مقاومت بتن مادر در بتن‌های بازیافتی مدلی ارائه نشده است. ارائه مدل در طرح‌های بتی می‌تواند از صرف هزینه و زمان مازد برای ساخت آن‌ها جلوگیری کند. هدف از مطالعه‌ی حاضر، ارائه‌ی یک مدل ریاضی برای پیش‌بینی رفتار مکانیکی بتن بازیافتی با استفاده از روش طراحی آزمایش مرکب مرکزی و تحلیل آماری سطح پاسخ است. پارامترهای مؤثر و روودی، شامل: مقاومت فشاری بتن مادر، درصد جایگزینی و عیار سیمان بوده است. نتایج نشان می‌دهند که مقاومت فشاری، مقاومت کششی و جذب آب بتن‌های بازیافتی به شدت وابسته به مقاومت فشاری بتن مادر هستند. با افزایش مقاومت فشاری شن بازیافتی از ۱۹ به ۳۶ مگاپاسکال، مقاومت فشاری بتن بازیافتی حدود ۴۰٪ افزایش و جذب آب آن حدود ۳۰٪ کاهش یافته است. زمانی که مقاومت فشاری بتن مادر بیش از ۲۸ مگاپاسکال است، می‌توان درصد جایگزینی سنگدانه‌ی بازیافتی را افزایش داد و بتن‌های با مقاومت بالاتر از بتن مادر تولید کرد.

**واژگان کلیدی:** بتن بازیافتی، مدل سازی، بتن مادر، خصوصیات مکانیکی، مدیریت مواد زائد.

## ۱. مقدمه

۹۰٪ مواد زائد ساختمانی بازیافت می‌شوند، در حالی که در ایتالیا و اسپانیا این مقدار به ۱۰٪ محدود می‌شود.<sup>[۱]</sup> مطالعات جامعی که در سال ۲۰۰۷ در کشور اردن صورت گرفته است، نشان می‌دهد که ۸۵٪ کل زباله‌های کشور اردن (حدود ۱۷۲۱ تن در سال) مربوط به زباله‌های ساختمانی است که بیش از ۹۰٪ آن به مراکز دفن مستقل می‌شود.<sup>[۲]</sup> همچنین در انگلستان، بیش از ۵۰٪ از زباله‌های دفن شده در مراکز دفن، زباله‌های ساختمانی هستند که عدد ۷۰ میلیون تن در سال را به خود اختصاص می‌دهند.<sup>[۳]</sup> به هر صورت، مدیریت زیست محیطی کشورها به ناچار باید برای این حجم قابل توجه پسماندهای جامد فکری اساسی داشته باشد. البته جمع‌آوری آمار پسماندهای ذکر شده، اوین قدم در برنامه‌ریزی است که متأسفانه در خیلی از کشورها مغفول مانده است.<sup>[۴-۶]</sup>

از سال‌ها پیش، دلیل اصلی دفن زباله‌ها، ساده و مقرون به صرفه بودن روش اخیر بوده است. اما به تدریج با کمیاب و گران‌تر شدن مواد خام مصرفی و نیز مماعت سازمان‌ها از توسعه‌ی مراکز دفن، گزینه‌ی بازیافت اقتصادی‌تر به نظر رسیده است. طبق آمار، هزینه‌های دفن پسماند در سال‌های اخیر به شدت افزایش یافته است. دولت‌های محلی آمریکا، که چند سال پیش فقط ۱۰ تا ۱۵ دلار به ازاء هر تن دفع

به طور کلی، مواد زائد تولیدی توسط جوامع انسانی به سه دسته‌ی: فاضلاب، مواد زائد جامد (پسماند) و گازهای آلاینده‌ی هوا تقسیم می‌شوند. براساس تعریف، پسماند شهری (MSW)<sup>[۷]</sup> به مواد زائد غیرخطناکی اطلاق می‌شود که در مناطق مسکونی، تجاری، مؤسسات و صنایع سبک تولید می‌شوند.<sup>[۸]</sup> پیشرفت و توسعه‌ی کشورها معمولاً با اصلاح زیرساخت‌ها و احداث سازه‌های زیربنایی همراه است. این نوسازی همواره تخریب ساختمان‌های قدیمی را در پی خواهد داشت که حجم قابل توجهی از زباله‌های جامد را تولید می‌کنند. مطابق مطالعات پیشین، میزان زباله‌ی تولیدی ناشی از ساخت و تخریب در اروپا بیش از ۲۰۵۰ میلیون تن در سال گزارش شده است که حدود ۳۵٪ آن بازیافت می‌شود.<sup>[۹]</sup> اما متأسفانه، بیشتر مواد زائد ذکر شده به محل‌های دفن زباله یا زباله‌سوزی‌ها حمل می‌شوند که باعث به خطر افتادن محیط زیست، افزایش هزینه‌ی حمل زباله و هزینه‌های مرتبط با روش‌های دفن می‌شود.<sup>[۱۰]</sup> براساس آمار در برخی کشورهای اروپایی مثل هلند و بلژیک حدود

\* نویسنده مسئول  
تاریخ: دریافت ۱۴/۱/۱۴۰۰، اصلاحیه ۱۳/۶/۱۴۰۰، پذیرش ۷/۲۴/۱۴۰۰.

DOI:10.24200/J30.2021.57419.2909

کربناتسیون بتن بازیافتی و بتن معمولی تقریباً یکسان است و دلیل آن نسبت آب به سیمان مؤثر کمترین حاوی RCA ریزدانه است. ایوانگلیستا<sup>۹</sup> [۲۰۰۷]، [۲۱] بیان کرده است که با جایگزینی ۳۰٪ از ریزدانه طبیعی با سنگدانه های بازیافتی، مقاومت فشاری بتن بازیافتی تقریباً ثابت مانده و مقاومت کششی و مدول کشسانی آن نیز کاهش کمتر از ۵٪ داشته است؛ این در حالی است که مقاومت آن در برابر سایش افزایش یافته است. همچنین نیلی و همکاران، با آزمایش مقاومت الکتروکمک مشاهده کردند که در تمام درصد های جایگزینی مصالح بازیافتی RCA به جای مصالح طبیعی، مقاومت الکتروکمک کاهش یافته است؛ زیرا با افزایش حجم مصالح بازیافتی در داخل بتن بازیافتی، مقدار زیادی به حجم خلل و فرج و هوای داخل بتن نیز افزوده شده است. در نتیجه از آنجا که ماهیت آزمایش مقاومت الکتروکمک به حجم حفره ها در بتن سخت شده ارتباط دارد، سبب می شود مقاومت الکتروکمک بتن به میزان بیشتری کاهش پیدا کند.

از طرف دیگر، مدل سازی ویژگی های بتن می تواند به پژوهشگران کمک کند تا از انجام آزمون های غیرضروری در آزمایشگاه پرهیز کنند. این موضوع همچنین می تواند دید بهتری را برای پیش بینی رفتار بتن قبل از ساخت ایجاد کند. [۲۲] وقتی نوبت به درنظر گرفتن متغیر های مختلف و تأثیر آن ها در یکدیگر می رسد، روش سطح پاسخ (RSM) <sup>۱۰</sup> هم برای فرآیند طراحی آزمایش و هم برای مدل سازی آن روشنی قابل اعتماد است. روش آماری - ریاضی RSM برای مدل سازی و تحلیل فرآیند بدکار می رود، به طوری که پاسخ تحقیق تأثیر متغیر های مختلفی قرار می گیرد و هدف روش اخیر، بهینه سازی استفاده از پاسخ هاست. [۲۳]

اگرچه در داخل و خارج از کشور مطالعات زیادی در ارتباط با استفاده از سنگدانه های بتن بازیافتی صورت گرفته است، ولی مطالعات کمتری به بررسی تأثیر مستقیم کیفیت سنگدانه بتن بازیافتی در ویژگی های مکانیکی بتن پرداخته اند. غالباً مطالعات پیشین، بتن مادری با مقاومت مشخص را جایگزین سنگدانه می کنند که مطالعاتی در درصد های مختلف کرده اند. به دلیل تنوع در نوع سنگدانه بتن مادر، مطالعات ذکر شده، دید کلی و جامعی از عملکرد بتن مادر چه از نظر مقاومت فشاری و چه درصد جایگزینی آن به ما نمی دهنند. لذا در پژوهش حاضر سعی شده است تا با طراحی اصولی آزمایش به روش طراحی مرکب مرکزی (CCD) <sup>۱۱</sup> تأثیر پارامتر های مؤثر مانند: مقاومت بتن مادر، درصد جایگزینی سنگدانه بازیافتی و عیار سیمان در مقاومت فشاری، مقاومت کششی و جذب آب بتن ساخته شده اندازه گیری شود. علاوه بر مطالعه ای آزمایشگاهی، مدل سازی به روش سطح پاسخ نیز صورت پذیرفته است که کمک می کند تا برای سه پاسخ مقاومت فشاری، مقاومت کششی و جذب آب، مدل چند جمله بی با ضریب همبستگی مناسب ارائه شود.

## ۲. مواد و روش

در بخش حاضر، به معرفی مصالح مصرفی و روش انجام پژوهش پرداخته شده است.

### ۱.۲. مصالح مصرفی

#### ۱.۲.۱. سیمان مصرفی

در پژوهش حاضر از سیمان تیپ I کارخانه ای سیمان هگمتان همدان استفاده شده است که مشخصات شیمیایی آن در جدول ۱ ارائه شده است.

پسماند جامد در مراکز دفن می پرداختند، امروزه باید مبلغ ۷۵ تا ۱۰۰ دلار به ازاء هر تن پرداخت کنند. [۱۵-۱۶] علاوه بر صنعت ساخت و ساز، حوادث طبیعی مانند زلزله و سیل نیز می توانند سبب تخریب بسیاری از ساختمان ها، پل ها، سدها و راه ها شوند. موارد ذکر شده، خود حجم بالایی از مصالح بتنی، فولادی، آسفالتی و سایر مصالح دارند که تعداد های عظیمی از زباله ای ساختمانی را تولید می کنند. [۱۶] در بیشتر نقاط دنیا، بتن و محصولات بتنی، نیز حجم بالایی از مواد زائد ناشی از ساخت و تخریب را شامل می شوند. به عنوان نمونه، مقدار مواد زائد تولید شده در بخش ساختمانی در آمریکای شمالی حدود ۴۵ تا ۵۰ درصد از کل مواد زائد را شامل می شوند که فقط حدود ۲۵٪ آن بازیافت می شوند. [۱۷] در ایران نیز پیش بینی می شود در سال های آتی، با توجه به استفاده از بتن و محصولات بتنی در سازه های مختلف، مراکز دفن با مشکل دفع مصالح زائد مواجه شوند.

بازیافت بتن تخریبی به عنوان جایگزین سنگدانه بتن برای اولین بار بعد از جنگ جهانی دوم توسط هنسن<sup>۱۸</sup> مطرح شد. [۱۹] پس از آن پژوهشگران شروع به جمع آوری اطلاعات در مورد سنگدانه های حاصل از بتن تخریبی کردند. در سال های اخیر، به دلیل سرعت بالای شهرنشینی و نیاز به توسعه پایدار، تعداد قابل توجهی از پژوهشگران به بررسی بتن بازیافتی پرداخته و دریافت آنند که مقادیر سنگدانه بتن بازیافتی (RCA) <sup>۲۰</sup> تأثیر قابل توجهی در مقاومت فشاری بتن دارد. کو<sup>۲۱</sup> و همکاران <sup>۲۰۱۱</sup>، [۱۷] مقاومت فشاری بتن بازیافتی حاوی ۱۰٪ درشت دانه را پس از ۵ سال ارزیابی و مشاهده کردند که همچنان مقاومت فشاری نمونه های بازیافتی از مقاومت فشاری نمونه های شاهد کمتر است، اما نزد رشد مقاومت در بتن های بازیافتی بیشتر از بتن های معمولی بوده است. براساس مطالعات کابال<sup>۲۲</sup> و همکاران <sup>۲۰۱۰</sup>، [۱۸] تأثیر منفی جایگزینی سنگدانه های بازیافتی ریزدانه نسبت به درشت دانه بیشتر بوده است. در همین راستا، مطالعه ای خطیب<sup>۲۳</sup> [۲۰۰۵] نشان می دهد که جایگزینی ۲۵ و ۱۰۰ درصد سنگدانه بتن بازیافتی ریز در بتن، کاهش ۱۵ و ۳۰ درصدی مقاومت فشاری بتن را در پی دارد. دلایل مختلفی برای کاهش مقاومت فشاری بتن بازیافتی می توان برشمرد. از جمله موارد اخیر می توان به افزایش تخلخل بتن و چسبندگی ضعیف بین سنگدانه و خمیر سیمان اشاره کرد. البته عوامل زیادی در مقاومت فشاری بتن بازیافتی تأثیر می گذارند. به گونه ای که طبق مطالعات زگا و مایو<sup>۲۴</sup> [۲۰۱۱] با جایگزینی ۲۰ و ۳۰ درصد از سنگدانه بازیافتی ریز به جای سنگدانه طبیعی، مقاومت فشاری بتن تغییرات ملموسی نخواهد داشت. گزارش باثار<sup>۲۵</sup> و همکاران <sup>۲۰۱۱</sup> [۲۰] حاکی از افزایش مقاومت فشاری بتن بازیافتی حاوی RCA است که دلیل آن پیوند قوی تر میان ملات جدید با سنگدانه و ملات چسبیده به آن عنوان شده است. در همین راستا، نیلی و همکاران <sup>۲۰۱۱</sup> [۲۱] نیز میزان ملات چسبیده به سنگدانه را با استفاده از روش کوره تعیین و بیان کردند که با افزایش درصد جایگزینی شن بازیافتی با شن طبیعی، میزان ملات چسبیده به سنگدانه نیز افزایش یافته و با توجه به احتمال پذیده هی واکنش مجدد آب با ملات چسبیده به مصالح، مقدار ژل بیشتری از واکنش اخیر حاصل شده است. در نتیجه، این موضوع سبب افزایش مقاومت فشاری بتن حاوی ۱۰٪ شن بازیافتی نسبت به بتن حاوی ۳۳٪ شن بازیافتی شده است. بنابراین، یکی از عواملی که در نتیجه ای آزمایش های بتن بازیافتی بسیار مؤثر است، کیفیت و مقدار خمیر چسبیده به سنگدانه است.

همچنین زگا و مایو <sup>۲۰۱۱</sup> [۲۰]، مقاومت در برای کربناتسیون بتن های حاوی RCA درشت دانه را بررسی کردند و دریافتند که استفاده از RCA در مقاومت در برابر کربناتسیون تأثیرگذار است. [۲۱] طبق مطالعات ایشان، در بتن هایی با طرح مخلوط یکسان و حاوی مقادیر مختلف RCA ریزدانه در سنین ۳۱۰ و ۶۲۰ روز، عمق

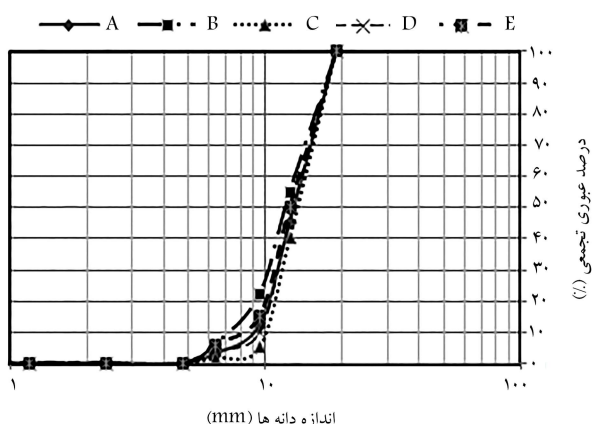
جدول ۱. مشخصات شیمیایی سیمان مصرفی.

C <sub>2</sub> A	Na <sub>2</sub> O	K <sub>2</sub> O	SO <sub>3</sub>	MgO	CaO	Fe <sub>2</sub> O <sub>3</sub>	Al <sub>2</sub> O <sub>3</sub>	SiO <sub>2</sub>	ترکیب
۶/۷۶	۰/۴۴	۰/۶۵	۲/۱۷	۱/۵۵	۶۳/۱۵	۳/۸۸	۵/۰۳	۲۱/۳۷	درصد

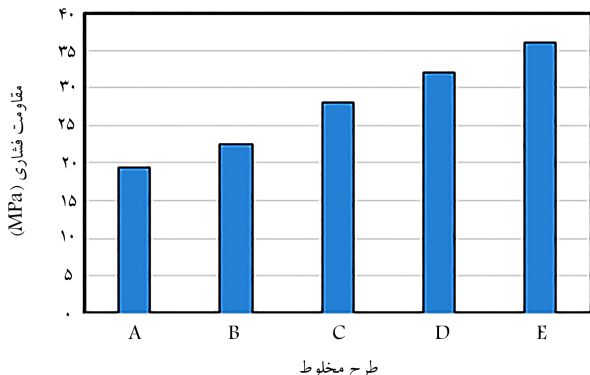
### ۶.۱.۲. شن بازیافته

غالباً در پروژه‌های عملی از بتن‌های بدون کاربری که نیاز به تخریب دارند، به عنوان بتن مادر جهت تولید سنگدانه‌ی بازیافته استفاده می‌شود. در پژوهش حاضر، جهت بررسی دقیق خواص بتن مادر بر بن توپیدی، از ۵ نوع بتن که در آزمایشگاه با دقت و براساس برنامه‌ی از پیش تعیین شده ساخته شده بودند، استفاده و نام طرح‌های مذکور به ترتیب A، B، C، D، و E انتخاب شده است. برای خرد کردن بتن‌های مادر از دستگاه پیکور و سپس برای ریزکردن ذرات بتن از پتک استفاده شده است. بیشینه‌ی اندازه‌ی اسمی شن‌های بازیافته به ۱۹ میلی‌متر محدود شده است. بر روی سنگدانه‌ها، آزمایش دانه‌بندی طبق استاندارد ASTM C136M<sup>[۱۵]</sup> و آزمایش‌های تعیین ظرفیت جذب آب و تعیین چگالی حجمی اشباع با سطح خشک طبق استاندارد ASTM C128-۰۱<sup>[۲۶]</sup> انجام شده است. در شکل ۳، نمودار دانه‌بندی شن بازیافته مشاهده می‌شود که مطابق آن بتن‌های مادر از A به E طوری ساخته شده‌اند تا دسته سنگدانه‌ی بازیافته بعد از خرد شدن بسیار نزدیک به یکدیگر است.

مقاومت فشاری بتن‌های مادر اهمیت زیادی دارد، لذا یکی از اهداف پژوهش حاضر، بررسی تأثیر مقاومت بتن‌های مادر در رفتار بتن بازیافته بوده است. مقاومت فشاری ۵ بتن مادر در سن ۲۸ روزگی به دست آمد و نتایج مرتبط در شکل ۴ مشاهده می‌شود، که مطابق آن بتن‌های مادر از A به E طوری ساخته شده‌اند تا



شکل ۳. نمودار دانه‌بندی شن بازیافته.



شکل ۴. مقاومت فشاری بتن‌های مادر.

### ۶.۱.۲. آب مصرفی

آب مصرفی در ساخت طرح مخلوط‌ها از آب شرب شهر همدان تأمین شده است، که میزان pH آن حدود ۷/۵ بوده و غلظت یون کلرید آن نیز ۱۲۴٪/۰٪ اندازه‌گیری شده است.

### ۶.۲. فوق روان‌کننده

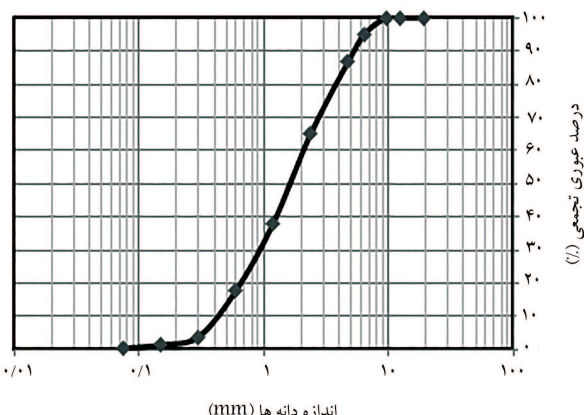
فوق روان‌کننده‌ی مصرفی جهت تنظیم کارایی وايجاد همگنی مناسب مخلوط، ازنسل سوم فوق روان‌کننده‌ها و از نوع پلی‌کربوکسیلات با نام تجاری GLENIUM ۱۱۰ P بوده است.

### ۶.۲. ماسه‌ی طبیعی

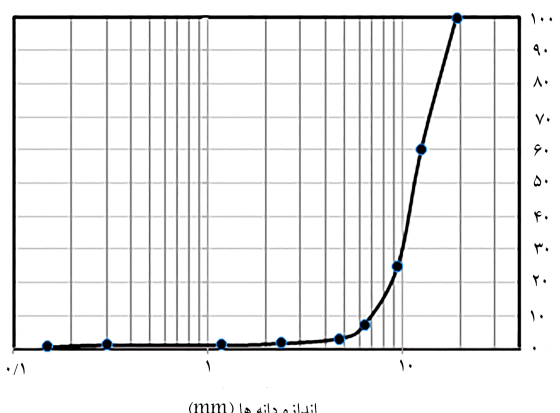
ماسه‌ی استفاده شده از نوع نیم‌شکسته بوده است که از کارخانه‌ی عبدالبرود تهیه شده است. در شکل ۱، نمودار دانه‌بندی ماسه‌ی طبیعی مصرفی در بتن مشاهده می‌شود.

### ۶.۲. شن طبیعی

شن مصرفی از نوع شکسته بوده و از معدن قاسم‌آباد همدان تهیه شده است. بیشینه‌ی اندازه‌ی اسمی شن مصرفی ۱۹ میلی‌متر بود. در شکل ۲، نمودار دانه‌بندی شن طبیعی مصرفی در بتن مشاهده می‌شود.



شکل ۱. نمودار دانه‌بندی ریزدانه‌ی طبیعی (ماسه) در بتن.



شکل ۲. نمودار دانه‌بندی درشت‌دانه‌ی طبیعی (شن) در بتن.

## جدول ۲. مشخصات فیزیکی مصالح بازیافتی.

نوع سنگدانه	چگالی نسبی در حالت اشباع با سطح خشک	جذب آب
ماسه طبیعی	۲/۵۱	۰/۸۷
شن طبیعی	۲/۶۳	۰/۴۳
شن بازیافتی (A)	۲/۴۴	۴/۴۵
شن بازیافتی (B)	۲/۴۲	۴/۳۵
شن بازیافتی (C)	۲/۴۸	۳/۶۵
شن بازیافتی (D)	۲/۵۳	۳/۳۰
شن بازیافتی (E)	۲/۶۲	۳/۳۰

فوق روان کننده اضافه شد تا عدم کارایی تأثیری در نمونه‌گیری نداشته باشد. برای قالب‌گیری نمونه‌ها (مکعبی و استوانه‌بی)، نیز ابتدا سطوح داخلی قالب‌ها به‌وسیله‌ی روغن چرب شد. سپس نمونه‌ها در سه لایه در قالب‌ها ریخته شدند و بعد از هر لایه از کوبه به تعداد ۲۵ ضربه استفاده شد تا تراکم مناسب به دست آید.  
آزمایش مقاومت فشاری بتن بر روی نمونه‌های مکعبی ۱۵۰ میلی‌متری براساس استاندارد BS EN ۱۲۳۹۰<sup>[۲۸]</sup> و آزمایش مقاومت کششی بر روی نمونه‌های استوانه‌بی با ابعاد ۳۰ × ۱۵۰ میلی‌متر و مطابق استاندارد ASTM C ۴۹۶-۱۷<sup>[۲۹]</sup> انجام شده است. همچنین آزمایش جذب آب نیز بر روی نمونه‌های مکعبی و مطابق استاندارد ASTM C ۶۴۲-۲۱<sup>[۳۰]</sup> انجام شد. برای تعیین مقادیر مقاومت فشاری، مقاومت کششی و جذب آب هر یک از طرح‌ها، ۳ نمونه بتنی ساخته و میانگین نتایج آن‌ها استفاده شد. نمونه‌ها بعد از ۲۴ ساعت از قالب خارج شدند و به مدت ۲۸ روز در دمای حدود ۲۰ درجه‌ی سانتی‌گراد در داخل حوضچه‌ی آب اشباع نگهداری و بعد آزمایش شدند. لازم به ذکر است تمامی امور مربوط به نمونه‌گیری و آزمایش‌ها در آزمایشگاه بتن و مکانیک خاک دانشگاه عمران توسعه‌ی همدان انجام شده است.

### ۲.۲.۲. طراحی آزمایش

برای بررسی تأثیر متغیری خاص در خصوصیات مکانیکی بتن، باید سایر عوامل تقریباً ثابت بمانند و فقط متغیر مرتبه تغییر کند. در مطالعه‌ی حاضر، اثر ۳ متغیر مختلف در مقاومت فشاری، مقاومت کششی و جذب آب بتن بازیافتی بررسی شده است. همچنین در صورتی که لازم باشد طرح مخلوط‌ها به طور مستقیم تعیین شود، نیاز به آزمایش‌های فراوانی است که سبب صرف هزینه و زمان بسیار می‌شود؛ در عین حال ممکن است براساس آن‌ها نتوان به تفسیر و پیش‌بینی پاسخ‌ها پرداخت و یا تأثیر همزمان متغیرها را بررسی کرد. بنابراین لازم است از نرم‌افزاری برای پایه‌ی ریاضی و تحلیل آماری برای تعیین طرح مخلوط‌ها استفاده شود.

استفاده از نرم‌افزارهای مدل‌سازی و روش‌های طراحی آزمایش، سبب کاهش زمان، هزینه و مصالح مصرفی می‌شود، روند پژوهش را تسهیل می‌سازد و از طرفی دقت پیش‌بینی نتایج را افزایش می‌دهد. بنابراین در سال‌های اخیر استفاده از نرم‌افزارهای مذکور و روش سطح پاسخ در کارهای بتنی رواج یافته است. در این خصوص می‌توان به مطالعه‌ی الیک<sup>[۱۲]</sup> و همکاران (۲۰۱۱)<sup>[۳۱]</sup> اشاره کرد که برای بررسی تأثیر پودر سنگ مرمر در خصوصیات مکانیکی و روانی بتن خودمتراکم از روش سطح پاسخ (RSM) استفاده کرده‌اند. سان و همکاران (۲۰۱۹)<sup>[۳۲]</sup> نیز در بررسی تأثیر تخلخل سنگدانه در جمع‌شدنگی بتن فوق توانند، برای تعیین مقادیر بهینه‌ی استفاده از افزودنی‌های مرتبه، از روش سطح پاسخ استفاده کرده‌اند. همچنین بیگلاری جو<sup>[۱۳]</sup> و همکاران (۲۰۱۷)<sup>[۱۰]</sup> برای مدل‌سازی استفاده از سنگدانه‌های بازیافتی و شیشه در بتن، از روش سطح پاسخ و نرم‌افزار Design Expert استفاده کرده‌اند.

لذا در مطالعه‌ی حاضر، به مonitor پررهیز از انجام آزمایش‌های تکراری و زمان‌بر، که اصولاً مبنای علمی و ریاضی مستحکمی نیز ندارند، از روش مرکب مرکزی و نرم‌افزار مدل‌سازی Design Expert برای طراحی آزمایش و تحلیل داده‌ها استفاده شده است. با استفاده از نرم‌افزار Design Expert می‌توان طرح مخلوط‌هایی را طراحی کرد که در آن بتوان تأثیر مجزا و نیز همزمان چند متغیر را در پارامترهای خروجی مشاهده کرد. طرح آزمایش‌های پیشنهادی روش CCD به نحوی است که حتی بدون تکرار آزمون نیز نتایج آماری قابل اعتمادی حاصل می‌شود و با معیار قراردادن تعداد متغیرها و حدود پیشینه و کمینه‌ی تعیین شده برای هر یک از متغیرها، طرح مخلوط‌های آزمایش را طراحی می‌کند. بدین ترتیب تعداد آزمون‌ها و نیز اندازه‌ی

کسب مقاومت در آن‌ها صعودی باشد. درواقع، طرح A کمترین و طرح E بیشترین مقاومت فشاری را داشته‌اند. دلیل استفاده از بتن‌های با مقاومت‌های فشاری و طرح مخلوط‌های مختلف، داشتن بتن مادر از رده‌های متفاوت بوده است، تا بتوان در توسعه‌ی مدل از آن بهره برد.

در جدول ۲، مشخصات فیزیکی مصالح سنگی، شامل بازیافتی و طبیعی ارائه شده است که مطابق آن، چگالی سنگدانه‌های بازیافتی نسبت به سنگدانه‌های طبیعی کمتر بوده است که عمدتی دلیل آن مربوط به مقدار خمیر سیمان باقیمانده بر سنگدانه و احتمالاً خلل و فرج بیشتر سنگدانه‌های بازیافتی بوده است. این موضوع همچنین در مطالعات نیایی و همکاران (۲۰۱۱)<sup>[۳۳]</sup> مشاهده شده است. ایشان اشاره کرده‌اند که کاهش چگالی نسبی اخیر در سنگدانه‌های بازیافتی باعث کاهش نسبی چگالی سازه شده است.

از طرفی براساس جدول ۲ می‌توان مشاهده کرد که جذب آب سنگدانه‌های بازیافتی بسیار بیشتر از سنگدانه‌های طبیعی بوده است که جذب آب بالا می‌تواند به علت وجود لایه‌هایی از ملات چسبیده به سنگدانه وجود خلل و فرج بیشتر در آن‌ها باشد که هر یک سبب جذب آب بیشتر می‌شوند. برخی پژوهشگران از جمله آقای کو و همکاران (۲۰۱۱)<sup>[۳۴]</sup> نیز به این موضوع اشاره کرده‌اند. این افزایش کلی در جذب آب سنگدانه‌های بازیافتی را نقطه‌ضعفی برای آن‌ها بیان کرده‌اند. ایشان نیز علت افزایش جذب آب در سنگدانه‌های بازیافتی را عدمتاً وجود ملات چسبیده به سنگدانه معرفی کرده‌اند. البته با افزایش مقاومت فشاری بتن‌های مادر، جذب آب سنگدانه‌های خرد شده کاهش می‌یابد که علت آن می‌تواند کاهش خلل و فرج سنگدانه‌های خرد شده باشد.

### ۲.۲. روش انجام و طراحی آزمایش

#### ۱.۱.۲. آماده‌سازی نمونه‌ها و روش انجام آزمایش

در تهیه‌ی نمونه‌ها، میزان آب موردنیاز جهت اشباع کردن سنگدانه‌ها با سطح خشک محاسبه و به آب مصرفی اضافه شده است. قبل از ریختن مصالح داخل مخلوطکن، ابتدا بدنه‌ی داخلی آن به کمک یک پارچه‌ی نمناک مرطوب و پس از آن ماسه و سیمان به شکل همزمان در مخلوطکن ریخته و به مدت یک دقیقه با یکدیگر مخلوط شدند. سپس حدود نصف آب مصرفی به مصالح اضافه شد و عمل اختلاط به مدت ۲ دقیقه ادامه یافت. سپس سنگدانه‌های درشت به داخل مخلوطکن ریخته و باقیمانده‌ی آب نیز به مخلوط اضافه شد. عمل مخلوط کردن تا ۳ دقیقه‌ی دیگر ادامه یافت، تا بتنی با کیفیت و همگن حاصل شود. بعد از ساخت بتن، کارایی بتن تازه با استفاده از آزمایش اسلامی مطابق با ASTM C ۱۴۳<sup>[۳۵]</sup> تعیین شد. بعد از آزمودن مقدار روانی (کارایی) بتن، اگر اسلامی مترراز ۱۰ سانتی‌متر بود، به مخلوط

جدول ۳. سطح عوامل در طراحی آزمایش CCD.

مقادیر کدها						علامت	واحد	متغیرهای آزمایش
+1/۶۸	+1	۰	-1	-1/۶۸				
۳۶	۲۲	۲۸	۲۲/۵	۱۹	$f_c$	MPa	مقاومت بتن مادر	
۹۲	۷۵	۵۰	۲۵	۸	$r$	%	درصد جایگزینی سنگدانه	
۴۱۰	۳۹۰	۳۶۰	۳۳۰	۳۱۰	$c_w$	$kg/m^3$	عیار سیمان	

متغیرها در هر آزمون مشخص می‌شود. در روش CCD، دامنه‌ی انتخاب شده برای هر متغیر اهمیت زیادی دارد. از آنجایی که دامنه‌ی انتخاب متغیرهای مستقل یکسان نیست، دامنه‌های مذکور باید کدبندی شوند تا تحلیل رگرسیون به خوبی انجام شود. در پژوهش حاضر، سه عامل مقاومت فشاری ۲۸ روزه‌ی بتن مادر (شن بازیافتی)، درصد جایگزینی سنگدانه‌ی بازیافتی و عیار سیمان مصرفی متغیرهای متغیرهای آزمایش بوده‌اند. با توجه به وجود سه متغیر ورودی برای نرم‌افزار، براساس الگوریتم پیشنهادی روشن CCD و کدهای پیش‌تعریف شده در نرم‌افزار Design Expert ۵. کد متغیر (+) تخصیص داده شده است، که برابر ۲۵٪ است. به علاوه، برای عیار سیمان کد (-) تخصیص داده شده است، که برابر ۳۹۰ است. سایر طرح‌ها نیز مشابه این شماره‌ی آزمایش هستند. در ۲۰ طرح مخلوط ذکر شده، آب مصرفی به طور ثابت برابر ۱۸۰ کیلوگرم بر مترمکعب در نظر گرفته شده است. چون در طرح مخلوط، وزن مخصوص بتن معادل ۲۳۰۰ کیلوگرم بر مترمکعب در نظر گرفته شده است، به هنگام تعییر در میزان سیمان مصرفی (۳۹۰، ۳۶۰، ۳۳۰، ۳۱۰ و ۳۰۰) کیلوگرم بر مترمکعب، وزن مخصوص بتن کاهش یا افزایش می‌یابد. این تعییر وزن به ماسه‌ی مصرفی اضافه یا کم می‌شود. در این سری طرح مخلوط، نام هر طرح ساخته شده کدبندی شده است، تا آدرس دهی آن ساده‌تر شود. چون سه متغیر وجود دارد، بخش اول کد عیار سیمان، بخش دوم درصد جایگزینی و بخش سوم مقاومت فشاری شن بازیافتی را نشان می‌دهد. به عنوان مثال، در طرح اول که کد معرف آن ۳۹۰۵۲۵۰۳۶ است، نشان دهنده‌ی عیار سیمان ۳۹۰ کیلوگرم بر مترمکعب، نشان دهنده‌ی درصد جایگزینی شن بازیافتی ۲۵٪ و ۳۶ نشان دهنده‌ی مقاومت فشاری ۳۶ مگاپاسکال است. از آنجاکه عیار سیمان متغیر بوده و مقدار آب ثابت در نظر گرفته شده است، نسبت آب به سیمان متغیر شده است. نسبت‌های ذکر شده‌ی آب به سیمان در بازه‌ی ۰/۴۳ تا ۰/۶۰٪ متغیر است که در بیشتر پروژه‌های عملی نیز به همین شکل است.

پس از انتخاب طرح، معادله‌ی مدل تعیین و ضرایب آن پیش‌بینی می‌شوند. مدل استفاده شده در روش سطح پاسخ عموماً معادله‌ی مدل درجه دوم کامل یا فرم کاهیده‌ی آن است. مدل درجه دوم می‌تواند به صورت رابطه‌ی ۱ بیان شود:<sup>[۲۳]</sup>

$$Y = \beta_0 + \sum_{i=1}^k \beta_i x_i + \sum_{i=1}^k \beta_{ii} x_i^2 + \sum_{i < j} \beta_{ij} x_i x_j + e(x_1, x_2, \dots, x_k) \quad (1)$$

که در آن،  $\beta_0, \beta_i, \beta_{ii}$  و  $\beta_{ij}$  به ترتیب ضرایب ثابت، خطی، درجه‌ی دوم و اثر متقابل رگرسیون هستند.  $x_i$  و  $x_j$  نیز متغیرهای مستقل کدبندی شده هستند. نمادسازی ماتریس در معادله‌ی ۲ ارائه داده است:

$$\begin{bmatrix} y_1 \\ \vdots \\ y_n \end{bmatrix} = \begin{bmatrix} 1 & x_{11} & \dots & x_{1k} \\ 1 & x_{21} & \dots & x_{2k} \\ \dots & \dots & \dots & \dots \\ 1 & x_{n1} & \dots & x_{nk} \end{bmatrix} \begin{bmatrix} \beta_0 \\ \vdots \\ \beta_k \end{bmatrix} + \begin{bmatrix} \varepsilon_1 \\ \vdots \\ \varepsilon_n \end{bmatrix} \quad (2)$$

برای عیار سیمان ( $c_w$ ) مقادیر ۳۱۰، ۳۳۰، ۳۶۰ و ۴۱۰ کیلوگرم بر مترمکعب در نظر گرفته شده است که عموماً عیار بتن‌هایی که در پروژه‌های عملی و پژوهشی ساخته می‌شوند، در محدوده‌ی اخیر قرار دارد. در بازه‌ی تعییر ذکر شده نیز مطابق جدول ۳، عیارهای ۳۱۰، ۳۳۰، ۳۶۰ و ۴۱۰ کیلوگرم بر مترمکعب به ترتیب با کد -۱/۶۸، -۱، ۰، +۱ و +۱/۶۸ به نرم‌افزار معرفی شدن. از آنجایی که در مطالعه‌ی حاضر برای تعیین کدهای کمیته و بیشینه‌ی بازه‌ها از روش CCD استفاده شده است، طراحی آزمایش استفاده از بازه‌ی تعییرات ۰ تا ۹۲ درصد را برای جایگزینی شن بازیافتی پیشنهاد داده و به همین دلیل مقادیر ۰ و ۱۰۰ درصد در طرح اخیر لحاظ نشده‌اند.

برای عیار سیمان ( $c_w$ ) مقادیر ۳۱۰، ۳۳۰، ۳۶۰ و ۴۱۰ کیلوگرم بر مترمکعب در نظر گرفته شده است که عموماً عیار بتن‌هایی که در پروژه‌های عملی و پژوهشی ساخته می‌شوند، در محدوده‌ی اخیر قرار دارد. در بازه‌ی تعییر ذکر شده نیز مطابق جدول ۳، عیارهای ۳۱۰، ۳۳۰، ۳۶۰ و ۴۱۰ کیلوگرم بر مترمکعب به ترتیب با کد -۱/۶۸، -۱، ۰، +۱ و +۱/۶۸ به نرم‌افزار معرفی شده‌اند. بعد از آنکه متغیرها با مقادیر تعییرشان مشخص شدند، نرم‌افزار Design Expert، طرح مخلوط‌های پیشنهادی را با توجه به کدهای مشخص شده برای هر متغیر ارائه می‌دهد. در مطالعه‌ی حاضر، نرم‌افزار مذکور، ۲۰ طرح مخلوط را

جدول ۴. طرح مخلوط بتن های آزمایشگاهی ساخته شده.

طرح مخلوط	MPa	$f_c$	$r$ (%)	$c_w$ ( $kg/m^3$ )	سیمان ( $kg/m^3$ )	آب ( $kg/m^3$ )	w/c	شن طبیعی ( $kg/m^3$ )	شن بازیافتی ( $kg/m^3$ )	ماسه طبیعی ( $kg/m^3$ )
C39.0-S25F22	25	23	25	390	390	180	0/46	617	206	908
C39.0-S75F22	25	23	25	390	390	180	0/46	617	617	908
C36.0-S50F28	28	28	50	360	360	180	0/50	416/5	416/5	928
C36.0-S50F28	28	28	50	360	360	180	0/50	416/5	416/5	928
C36.0-S50F26	26	26	50	360	360	180	0/50	416/5	416/5	928
C39.0-S25F22	25	22/5	25	390	390	180	0/46	617	206	908
C39.0-S75F22	25	22/5	25	390	390	180	0/46	617	617	908
C32.0-S25F22	25	23	25	320	320	180	0/50	632	211	948
C36.0-S92F28	28	28	92	360	360	180	0/50	67	766	928
C32.0-S75F22	22/5	22/5	25	320	320	180	0/50	632	211	948
C36.0-S50F28	28	28	50	360	360	180	0/50	416/5	416/5	928
C32.0-S25F22	25	22/5	25	320	320	180	0/50	632	632	948
C32.0-S75F22	25	22/5	25	320	320	180	0/50	632	211	948
C36.0-S50F28	28	28	50	360	360	180	0/50	416/5	416/5	928
C36.0-S50F28	28	28	50	360	360	180	0/50	67	766	928
C36.0-S50F28	28	28	50	360	360	180	0/50	416/5	416/5	928
C31.0-S50F28	28	28	50	310	310	180	0/60	426/5	426/5	958
C36.0-S50F19	19	28	50	360	360	180	0/50	416/5	416/5	928
C41.0-S50F28	28	28	50	410	410	180	0/43	406/5	406/5	898

وقتی عیار سیمان مقدار ثابت ۳۶۰ کیلوگرم بر مترمکعب و درصد جایگزینی شن بازیافتی ۵۰٪ ثابت نگه داشته شده است، با افزایش مقاومت فشاری شن بازیافتی ۱۹ مگاپاسکال، مقدار مقاومت فشاری بتن های ساخته شده از ۲۷ مگاپاسکال به حدود ۳۸ مگاپاسکال افزایش یافته است. این افزایش مقاومت بیش از ۴۰٪ بوده است که در تکنولوژی بتن در رویکرد سازه بی سیار مطلوب است. در همین جایگزینی، افزایش مقاومت مشابهی نیز برای مقاومت کششی بتن مشاهده شده است، به طوری که مقاومت کششی بتن های ساخته شده نیز حدود ۲۵٪ بهبود و ۲/۷ به ۳/۴ مگاپاسکال افزایش یافته است. در مشاهده هی مشابه دیگری، وقتی عیار سیمان مقدار ثابت ۳۹۰ کیلوگرم بر مترمکعب و مقدار درصد جایگزینی شن بازیافتی ۷۵٪ بوده است، با تغییر در مقاومت فشاری شن بازیافتی از ۲/۵ به ۳۳ مگاپاسکال، مقدار مقاومت فشاری بتن ساخته شده جدید، از ۳۲/۵ به حدود ۳۵/۵ مگاپاسکال و در حدود ۱۰٪ افزایش یافته است. همچنین برای همین طرح ها، مقاومت کششی از ۱/۳ به ۳/۵ مگاپاسکال افزایش یافته است. مشاهده های اخیر نشان دهندهی آن هستند که مقاومت فشاری بتن مادر (شن بازیافتی) پارامتر کلیدی در تعیین مقاومت بتن های ساخته شده است. در این خصوص، روند مشابهی توسط برخی پژوهشگران پیشین نیز مشاهده شده است.<sup>[۱۰، ۱۵]</sup> در این راستا، بنا بر <sup>۱۴</sup> و همکاران (۷)<sup>[۱۵]</sup> به بررسی تأثیر جایگزینی ریزدانه های زائد بتنی و شیشه بی در مقاومت فشاری بتن پرداختند و دریافتند که جایگزینی ریزدانه های شیشه بی تا ۲۰٪ وزن سنگدانه های طبیعی سبب افزایش مقاومت بتن بازیافتی می شود و این در حالی است که استفاده از ۲۰٪ ریزدانه های بتنی سبب کاهش ۱۳ درصدی مقاومت بتن بازیافتی می شود. دلیل افزایش مقاومت های فشاری و کششی در طرح های اخیر می تواند به

دستگاه معادلات ۲، با استفاده از روش کمینه مربعات حل شده و ضرایب معادله به دست می آیند. بعد از اینکه ضرایب معادله به دست آمدند، با حل معادله ۲، پاسخ پیش بینی می شود.

پارامترهای خروجی مطالعه حاضر شامل: مقاومت فشاری بتن ( $F_t$ )، مقاومت کششی ( $F_s$ ) و جذب آب بتن ( $A$ ) است. در تمام مراحل پژوهش حاضر، برای طراحی آزمایش ها از روش CCD و برای بررسی تأثیر پارامترهای ورودی در خروجی و مدل سازی، از روش سطح پاسخ در نرم افزار Design Expert استفاده شده است. هر پارامتر خروجی حاصل از مدل سازی نیز تابعی از مقاومت بتن مادر ( $f_c$ )، درصد جایگزینی سنگدانه بازیافتی ( $r$ ) و عیار سیمان ( $c_w$ ) خواهد بود، که به شکل معناداری از ترکیب مرتبه ای اول، مرتبه دوم و تأثیر درونی آن ها تشکیل می شود. در ضمن برای تعیین آزمایشگاهی پارامترهای اخیر، تمامی نمونه ها در سن ۲۸ روز آزمایش شده اند.

### ۳. نتایج

#### ۱.۳. نتایج آزمایشگاهی

در جدول ۵، نتایج آزمایشگاهی مربوط به بتن بازیافتی ساخته شده با سنگدانه های بازیافتی مشاهده می شود. بر روی بتن های ساخته شده مذکور، سه آزمایش اصلی مقاومت فشاری، مقاومت کششی و جذب آب بتن انجام شده است. طبق جدول ۵، تأثیر مقاومت بتن مادر (سنگدانه بازیافتی) در هر سه آزمایش مقاومت فشاری، مقاومت کششی، و جذب آب بسیار محسوس است. به عنوان مثال،

جدول ۵. نتایج آزمایشگاهی بتن بازیافته.

آزمایش	مقاومت فشاری (MPa)	جذب آب (%)	پارامترهای خروجی
C39.0-S25F22	21/8	3/1	5/2
C39.0-S25F22	35/4	3/4	5/8
C36.0-S5-F28	26/5	2/8	7/1
C36.0-S5-F28	26	2/7	7/1
C36.0-S5-F26	37/8	3/4	5/2
C39.0-S25F22	32/4	3	6/8
C39.0-SV5F22	32/5	3/1	7/5
C32.0-S25F22	24	3/3	5/1
C36.0-S92F28	30	3/1	7/6
C32.0-SV5F22	26/5	2/6	7/4
C36.0-S5-F28	26/3	2/7	7/1
C32.0-S25F22	28/2	2/8	6/7
C33.0-SV5F22	36	3/5	5/7
C36.0-S5-F28	25/5	2/6	7/1
C36.0-S5-F28	25/8	2/8	7/1
C36.0-S8F28	26	2/8	3/4
C36.0-S5-F28	25/8	2/7	7/1
C31.0-S5-F28	22/5	2/4	7/1
C36.0-S5-F19	27	2/5	7/6
C41.0-S5-F28	28/7	2/8	7/4

مقاومت بتن مادر (شن بازیافته) برابر ۳۲ مگاپاسکال و عیار سیمان ۳۹۰ کیلوگرم بر مترمکعب ثابت فرض شده است، وقتی درصد جایگزینی از ۲۵ به ۷۵ افزایش یافته است، مقاومت فشاری از حدود ۳۲ به حدود ۳۵ مگاپاسکال رسیده است. همین مشاهده برای مقاومت کششی بتن نیز صادق بوده و در این حالت مقاومت کششی از ۱/۳ به ۳/۴ مگاپاسکال افزایش یافته است. این موضوع بسیار حائز اهمیت است، زیرا این پدیده برای بتن‌های ساخته شده با مقاومت بتن مادر حدوداً ۲۲ مگاپاسکال صادق نیست. بهیان دیگر، وقتی مقاومت شن بازیافته حدود ۲۲ مگاپاسکال بوده و عیار سیمان ۳۳۰ کیلوگرم بر مترمکعب ثابت فرض شده است، با افزایش درصد جایگزینی شن بازیافته از ۲۵ به ۷۵ درصد، مقاومت فشاری بتن ساخته شده از حدود ۲۸ به ۲۶/۵ مگاپاسکال و مقاومت کششی آن از ۲/۸ به ۲/۶ مگاپاسکال کاهش یافته است. در نتیجه، مقاومت فشاری بتن مادر (شن بازیافته) پارامتری بسیار مهم است. در بتن‌های مادر با مقاومت متوسط به بالا، افزایش درصد جایگزینی، سبب افزایش مقاومت فشاری می‌شود که موجب نبود نگرانی در پژوهه‌های عملی مهندسان از بات جایگزینی کامل یا نسبتاً کامل شن بازیافته با شن طبیعی می‌شود. در مقابل برای سندگانه‌هایی با بتن مادر کم مقاومت، افزایش درصد جایگزینی باعث کاهش مقاومت فشاری شده است. همان‌طور که در چکیده‌ی نوشتار ذکر شده است، پژوهشگران مختلف درخصوص جایگزینی RCA در بتن به نتایج مختلف دست یافته‌اند.<sup>[۲۱-۲۷]</sup> برخی آن را سبب افزایش مقاومت و برخی نیز سبب کاهش مقاومت بتن بازیافته دانسته‌اند. نتایج حاصل از مطالعه‌ی حاضر وجود دیدگاه‌های مختلف درخصوص تأثیر جایگزینی سندگانه‌ی بازیافته در خصوصیات مکانیک بتن را توجیه و دلیل اصلی آن را مقاومت متفاوت سندگانه‌های بهکار رفته در آزمایش‌ها عنوان می‌کند. از آنجا که در بیشتر پژوهه‌های عملی، کسب مقاومت‌های فشاری یا کششی بالاتر مطلوب است، لذا با توجه به نتایج قابل مشاهده در جدول ۵ توصیه می‌شود که اگر بتن مادری با مقاومت کمتر از ۲۸ مگاپاسکال در اختیار است، درصد‌های جایگزینی به زیر ۵٪ محظوظ شود. اما هنگامی که مقاومت بتن مادر بالای ۲۸ مگاپاسکال است، می‌توان درصد‌های جایگزینی را تا بالای ۵٪ نیز افزایش داد و در عین حال مقاومت بتن را بالا برد. اما در مقابل، برای جذب آب منطقی به نظر می‌رسد که افزایش درصد جایگزینی (با هر مقاومت مادری)، سبب افزایش درصد جذب آب شود. این موضوع در نتایج آزمایشگاهی حاصل از مطالعه‌ی حاضر نیز مشاهده شده است. درواقع برای دو نمونه‌ی مذکور، با افزایش درصد جایگزینی ( مقاومت شن بازیافته زیاد یا کم)، مقدار جذب آب افزایش یافته است که علت آن، تخلخل نسبی بیشتر سندگانه‌ی بازیافته نسبت به سندگانه‌ی طبیعی بوده است. همچنین مقدار ملات سیمان باقیمانده روی شن بازیافته خود جاذب قوی آب است، که سبب افزایش جذب آب بتن مشاهده‌ی اول، وقتی مقاومت فشاری شن بازیافته از ۳۶ به ۳۲ مگاپاسکال رسیده است، جذب آب از عدد ۷/۶ به ۵/۲ درصد کاهش یافته است. همچنین در طرح دیگر، وقتی مقاومت فشاری شن بازیافته از ۳۲ به ۲۶ مگاپاسکال رسیده است، جذب آب نیز از ۷/۵ به ۵/۸ درصد کاهش یافته است که دلیل اصلی آن، کاهش تخلخل سندگانه‌های بازیافته در مقاومت‌های بالای بتن مادر بوده است. مشاهده‌ی جالب دیگر آن است که در دو طرح مذکور، با افزایش مقاومت فشاری بتن مادر (شن بازیافته)، جذب آب بتن‌های ساخته شده کاهش یافته است. در مشاهده‌ی اول، وقتی مقاومت فشاری شن بازیافته از ۳۶ به ۳۲ مگاپاسکال رسیده است، جذب آب از عدد ۷/۶ به ۵/۲ درصد کاهش یافته است. همچنین در طرح دیگر، وقتی مقاومت فشاری شن بازیافته از ۳۲ به ۲۶ مگاپاسکال رسیده است، جذب آب نیز از ۷/۵ به ۵/۸ درصد کاهش یافته است که دلیل اصلی آن، تغییر درصد جایگزینی شن بازیافته از ۸ تا ۹۲ درصد، مقدار مقاومت فشاری نمونه‌ها از ۲۶ به ۳۰ مگاپاسکال افزایش یافته است. مقدار مقاومت کششی بتن‌های مذکور نیز از ۲/۸ به ۳/۱ مگاپاسکال رسیده است. این نتایج نشان‌دهنده‌ی تأثیر افزایش عیار سیمان، میزان جذب آب نیز به صورت جزئی افزایش یافته است، که

اتصال بهتر سندگانه‌های بازیافته مقاومت بالا با ماتریس بتن مریبوط باشد. همچنین سندگانه‌های بازیافته با بتن مادر مقاومت تخلخل کمتری دارند، چون سیمان چسبیده شده روی آن‌ها یا کمتر بوده یا مقاومت مکانیکی قابل قبول تری داشته است. از طرفی دیگر، سطح زبر و تیزگوشه بودن سندگانه‌های بازیافته با مقاومت بالاتر باعث به وجود آمدن بتی یکپارچه‌تر می‌شود. به علاوه، برای سندگانه‌های بازیافته امکان واکنش خیری روی سندگانه در بتن جدید وجود دارد، که به فرایند هیدراسیون کمک می‌کند. به پدیده‌ی اخیر در مطالعه‌ی نیلی و همکاران نیز اشاره شده است.<sup>[۲۸]</sup> نکته‌ی مهم دیگر آن است که در دو طرح مذکور، با افزایش مقاومت فشاری بتن مادر (شن بازیافته)، جذب آب بتن‌های ساخته شده کاهش یافته است. در مشاهده‌ی اول، وقتی مقاومت فشاری شن بازیافته از ۳۶ به ۳۲ مگاپاسکال رسیده است، جذب آب از عدد ۷/۶ به ۵/۲ درصد کاهش یافته است. همچنین در طرح دیگر، وقتی مقاومت فشاری شن بازیافته از ۳۲ به ۲۶ مگاپاسکال رسیده است، جذب آب نیز از ۷/۵ به ۵/۸ درصد کاهش یافته است که دلیل اصلی آن، کاهش تخلخل سندگانه‌های بازیافته در مقاومت‌های بالای بتن مادر بوده است. مشاهده‌ی جالب دیگر در جدول ۵، زمانی است که درصد جایگزینی شن بازیافته متفاوت نمایش‌گردد شده است. وقتی عیار سیمان به مقدار ۳۶ کیلوگرم بر مترمکعب و مقاومت فشاری شن بازیافته در عدد ۲۸ مگاپاسکال ثابت نگه داشته شود، با تغییر درصد جایگزینی شن بازیافته از ۸ تا ۹۲ درصد، مقدار مقاومت فشاری نمونه‌ها از ۲۶ به ۳۰ مگاپاسکال افزایش یافته است. مقدار مقاومت کششی بتن‌های مذکور نیز از ۲/۸ به ۳/۱ مگاپاسکال رسیده است. این نتایج نشان‌دهنده‌ی تأثیر مثبت درصد جایگزینی شن بازیافته در بتن است. در مشاهده‌ی دیگر، زمانی که

جدول ۶. تحلیل واریانس برای مدل‌های پیشنهادی.

P	F	MS	DF	SS	منبع	پاسخ			
پراهمیت	۰/۰۰۱۸	۷/۸۰	۲۳/۲۱	۹	۲۹۸/۸۸	مدل			
						باقیمانده			
	۰/۰۰۰۲	۶۲/۷۳	۸/۳۸	۵	۴۱/۹۲	کمبود تطبیق			
						خطای خالص			
				۰/۱۳	۵	۰/۶۷			
				۱۹		۳۴۱/۴۵			
				کل					
پراهمیت	۰/۰۰۲۴	۶/۵۹	۰/۱۸	۹	۱/۶۳	مدل			
						باقیمانده			
	۰/۰۱۶۵	۸/۷۲	۰/۰۴۹	۵	۰/۲۵	کمبود تطبیق			
						خطای خالص			
				۰/۰۰۵	۵	۰/۰۲۸			
				۱۹		۱/۹۱			
				کل					
پراهمیت	۰/۰۰۰۳	۱۲/۲۴	۱/۹۱	۹	۱۷/۱۵	مدل			
						باقیمانده			
	۰/۱۶	۱۰/۳۱	۰/۱۶	۱۰	۱/۵۶	کمبود تطبیق			
						خطای خالص			
				۰/۳۱	۵	۱/۴۵			
				۰	۰				
				۱۹	۱۸/۷۰				

SS : مجموع مربعت، DF : درجه آزادی، MS : میانگین مربعت، F : مقدار F-value

P : خطای احتمالی

$$F_C = ۲۵,۸۸ + ۲,۶۲f_c + ۰,۷۹r + ۱/۳۱c_w + ۰,۹۰f_cr - ۱/۶۲f_cc_w + ۰,۴۳rc_w + ۲/۹۶f_c^2 + ۱/۴۰r^2 + ۰,۵۵c_w^2 \quad (۳)$$

$$F_t = ۲/۷۱ + ۰,۲۴f_c + ۰,۱۰۶۶r + ۰,۱۰۷۹c_w + ۰,۱۰۷۵f_cr - ۰,۱۲f_cc_w + ۰,۱۰rc_w + ۰,۱۴f_c^2 + ۰,۱۴r^2 + ۰,۱۴c_w^2 \quad (۴)$$

$$A = ۷/۱۱ - ۰,۷۸f_c + ۰,۵۹r + ۰,۱۰۶۶c_w - ۰,۱۰۲۵f_cr - ۰,۲۹f_c^2 - ۰,۴۶r^2 + ۰,۱۰۷c_w^2 \quad (۵)$$

جدول ۷. پارامترهای آماری از تحلیل واریانس مدل‌های پیشنهادی.

PRESS	A.P.	S.D.	CV	Adj.R <sup>2</sup>	R <sup>2</sup>	پاسخ
۳۱۷/۷۳	۹/۵۶	۲/۰۶	۷/۰۶	۰/۷۶	۰/۸۸	$F_c$
۱/۹۱	۸/۶۴	۰/۱۷	۵/۷۱	۰/۷۳	۰/۸۶	$F_t$
۱۱/۸۲	۱۰/۷۹	۰/۳۹	۵/۹۸	۰/۸۴	۰/۹۲	A

PRESS : ضریب واریانس, SD : انحراف معیار, A.P : دقت کافی,

باقیمانده پیش‌بینی شده از مجموع مربعت خطأ

مذکور در جداول‌های ۶ و ۷ ارائه شده است. در جدول‌های مذکور، مقدار P برای همه مدل‌های پیشنهادی کمتر از ۰/۰۵ بودست آمده است که نشان می‌دهد سه متغیر انتخاب شده با سطح اطمینان بالای ۹۵٪ در پاسخ‌های مرتبط تأثیرگذار هستند. به منظور ارزیابی قابلیت پیش‌بینی مدل‌ها، سه پارامتر ضریب همبستگی ( $R^2$ )، پارامتر  $R^2$  اصلاح شده ( $Adj.R^2$ ) و مقدار F معرفی شده‌اند.<sup>[۲۴]</sup> ضریب همبستگی ( $R^2$ ) روابط پیشنهادی برای مقاومت فشاری، مقاومت کششی و جذب آب بتن بازیافتی به ترتیب برابر ۰/۸۸، ۰/۸۶ و ۰/۹۲ بوده است که مطلوب و نشانگر تطبیق پذیری مناسب بین مدل‌های پیشنهادی و داده‌های آزمایشگاهی است.

طبیعی به نظر می‌رسد؛ زیرا سیمان موجود بالاتر در ماتریس بتن، نیاز به آب بیشتری دارد.

## ۲. نتایج مدل‌سازی

روش سطح پاسخ به عنوان یکی از روش‌های مؤثر در پیش‌بینی رفتار بتن بازیافتی معرفی شده است.<sup>[۱۰]</sup> بنابراین همان‌طور که در بخش قبل نیز مطرح شد، در مطالعه‌ی حاضر برای مدل‌سازی رفتار بتن‌های بازیافتی از روش سطح پاسخ استفاده شده است. در روابط ۳ الی ۵ و جدول ۶،  $F_c$  برابر مقاومت فشاری (MPa)،  $F_t$  معادل مقاومت کششی (MPa) و A معادل جذب آب بتن (%) است. هر پاسخ در مدل اخیر، تابعی از متغیرهای مرتبه‌ی اول ( $f_c$ ,  $c_w$ ,  $r$ ,  $f_{cr}$ ,  $rc_w$ )، مرتبه‌ی دوم ( $f_c^2$ ,  $c_w^2$ ,  $r^2$ ,  $f_{cr}^2$ ) و تأثیر متقابل ( $f_cf_{cr}$ ,  $f_cc_w$ ,  $rc_w^2$ ) متفاوت است. در معادلات پیشنهادی اخیر،  $f_c$  نشانگر مقاومت بتن مادر (MPa)، r نشانگر درصد جایگزینیصالح بازیافتی (%) و  $c_w$  نشانگر عیار سیمان بر حسب ( $kg/m^3$ ) است. معادلات پیشنهادی برای پیش‌بینی رفتار بتن بازیافتی در رابطه‌های ۳ الی ۵ ارائه شده است.

روابط اخیر با استفاده از روش تحلیل واریانس (ANOVA) در نرم‌افزار Expert Design تحلیل شده‌اند. نتایج حاصل از تحلیل‌های انجام شده برای پاسخ‌های

ساختن میزان دقت، می‌توان معادلات فوق را با استفاده از جایگزینی مقادیری که در طرح آزمایش مطرح شده است، آزمایش کرد. به عنوان نمونه براساس رابطه‌ی  $R^*$ ، وقتی درصد جایگزینی صفر، عیار سیمان معادل  $360$  کیلوگرم بر مترمکعب، و بتن مادر دارای مقاومت  $28$  مگاپاسکال است، مقاومت فشاری بتن حاصل کمتر از  $26$  مگاپاسکال و زمانی که درصد جایگزینی به  $100\%$  برسد مقاومت فشاری کمی بیش از  $30$  مگاپاسکال به دست می‌آید. این موضوع نشان‌دهنده‌ی تأثیر مشبّت جایگزینی بتن‌های مادر با مقاومت  $28$  مگاپاسکال و بالاتر از آن است. براساس رابطه‌ی  $R^*$ ، با افزایش همین درصد‌های جایگزینی، مقاومت کششی بتن بازیافتی از  $2/8$  به  $3/1$  مگاپاسکال می‌رسد. در مطالعات پیشین نیز جایگزینی درصد بالای شن بازیافتی در بتن مناسب ارزیابی شده است.<sup>[۱۰]</sup> در شکل ۵، نمودارهای مربوط به مقادیر پیش‌بینی شده و مقادیر واقعی مشاهده می‌شوند، که مطابق آن‌ها، تطبیق قابل قبولی بین نمونه‌های آزمایشگاهی و مدل‌های پیش‌بینی وجود دارد. نمودارهای اخیر درواقع نشان می‌دهند که مدل‌های اخیر به خوبی قابلیت پیش‌بینی رفتار بتن بازیافتی را دارند.

#### ۴. نتیجه‌گیری

به منظور دفن این مواد زائد جامد در بتن، سنگدانه‌های طبیعی درشت با سنگدانه‌های بتن بازیافتی جایگزین شدن. برای مدل‌سازی رفتار بتن بازیافتی و انجام تحلیل حساسیت، از روش طراحی مرکب مرکزی به همراه روش آماری سطح پاسخ استفاده شده است. در پژوهش حاضر، تأثیر مقاومت فشاری بتن مادر ( $19$  تا  $36$  مگاپاسکال)، تأثیر درصد جایگزینی ( $8\%$  تا  $92\%$  درصد) و عیار سیمان ( $310$  تا  $410$  kg/m<sup>3</sup>) به عنوان پارامترهای ورودی در نظر گرفته شدن و مقاومت فشاری، مقاومت کششی، و درصد جذب آب به عنوان پارامترهای خروجی مدنظر قرار گرفته است. در ادامه، دستاوردهای مهم مطالعه‌ی حاضر ارائه شده است:

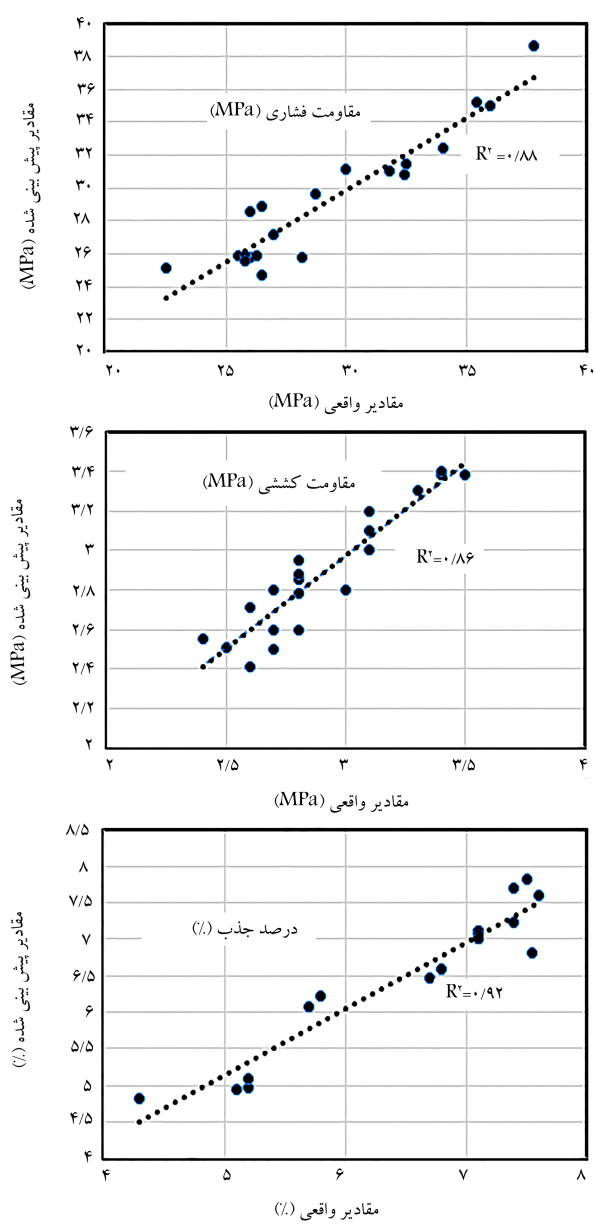
(الف) مقاومت فشاری بتن مادر نقش بهسازی در تعیین ویژگی‌های مکانیکی بتن بازیافتی، شامل: مقاومت فشاری، مقاومت کششی و جذب آب دارد. به منظور ساخت بتن‌هایی با مقاومت فشاری بالاتر از مقاومت اولیه بتن مادر، بتن مادر با مقاومت بالای  $28$  مگاپاسکال باید استفاده شود.

(ب) با افزایش مقاومت فشاری شن بازیافتی از  $19$  تا  $36$  مگاپاسکال، مقاومت فشاری بتن بازیافتی بیش از  $40\%$  افزایش یافته است. در همین جایگزینی جذب آب بتن نیز بیش از  $30\%$  کاهش یافته است.

(ج) وقتی مقاومت فشاری شن بازیافتی برابر  $28$  مگاپاسکال ثابت نگه داشته شد، با تغییر درصد جایگزینی شن بازیافتی از  $8$  تا  $92$  درصد، مقدار مقاومت فشاری نمونه‌ها از  $26$  به  $30$  مگاپاسکال افزایش و مقدار مقاومت کششی آن‌ها نیز از  $2/8$  به  $3/1$  مگاپاسکال رسیده است.

(د) وقتی مقاومت فشاری بتن مادر بالای  $28$  مگاپاسکال بوده است، درصد بالای جایگزینی سنگدانه‌ی بازیافتی منطقی به نظر رسید. این نکته می‌تواند کمک کند تا حجم زیادی از مواد زائد در بتن دفن شود. اما برای بتن‌های مادر با مقاومت کم، درصد جایگزینی باید محدود شود تا رفتارهای نامطلوب کاهش یابد.

(و) معادلات پیشنهادی برای پاسخ‌های هدف، پژوهشگران را قادر می‌سازد تا پیش‌بینی منطقی از عملکرد مقاومت بتن مادر بر خصوصیات بتن بازیافتی داشته باشند. با تحلیل آماری مدل‌های ارائه شده، مقادیر  $R^*$  بین  $0/86$  و  $0/92$  به دست آمد که کاملاً مطلوب است.



شکل ۵. مقادیر پیش‌بینی شده و مقادیر واقعی.

شکل اصلاح شده‌ی  $R^*$  نیز برای همه‌ی پاسخ‌ها در جدول ۷ ارائه شده است. پارامتر  $R^*$  اصلاح شده برای بررسی قابلیت پیش‌بینی مدل‌ها استفاده می‌شود، که اصولاً از  $R^*$  کمتر بوده و حساسیت بیشتری از آن داشته است. این پارامتر نیز در محدوده‌ی قابل قبولی قرار داشته است. پارامتر A.P. (دقت کافی)، از لحاظ آماری نشان‌دهنده‌ی سیگنال به نویزی یا به عبارتی نسبت محدوده‌ی پاسخ پیش‌بینی شده به خطای متوسط آن است که مقدار آن در حال مطلوب باید بیش از  $4$  باشد.<sup>[۲۴]</sup> مطابق جدول ۷، مقدار پارامتر A.P. بین  $8/64$  تا  $10/79$  است و در محدوده‌ی مطلوب قرار دارد. مقدار  $F$  نیز در محدوده‌ی  $6/59$  تا  $12/24$  است و قرار دارد که نشان می‌دهد همه‌ی مدل‌های پیشنهادی از لحاظ آماری مناسب هستند. ضریب تغییرات ( $CV$ ) در همه‌ی مدل‌ها کمتر از  $10\%$  بوده است که نمایانگر دقیق و قابلیت اطمینان پاسخ‌های است. بنابراین براساس پارامترهای مطرح شده، روابط پیشنهادی کفايت لازم برای پیش‌بینی پاسخ‌ها را دارند. برای شفاف‌تر

## پانوشت‌ها

1. municipal solid waste (MSW)
2. Hansen
3. recycled concrete aggregates (RCA)
4. Kou
5. Cabral
6. Khatib
7. Zega & Maio
8. Butler
9. Evangelista
10. response surface methodology (RSM)
11. central composite design (CCD)
12. Alyamac
13. Biglarijoo
14. Batayneh

## منابع (References)

1. Winkler, G., *Recycling Construction and Demolition Waste*, McGraw Hill, 1st Edition, pp. 256 (2010).
2. Tabsh, S. and Abdelfatah, A. "Influence of recycled concrete aggregates on strength properties of concrete", *Construction and Building Materials*, **23**(2), pp. 1163-1167 (2009).
3. Shi, J. and Xu, Y. "Estimation and Forecasting of Concrete Debris Amount in China", *Resources, Conservation & Recycling*, **49**(2), pp. 147-158 (2006).
4. Laserna, S. and Montero, J. "Influence of natural aggregates typology on recycled concrete strength properties", *Construction and Building Materials*, **115**, pp. 78-86 (2016).
5. Batayneh, M., Marie, I. and Asi, I. "Use of Selected Waste Materials in Concrete Mixes", *Waste Management*, **27**(12), pp. 1870-1876 (2007).
6. Huda, S. and Alam, S. "Mechanical behavior of three generations of 100% repeated recycled coarse aggregate concrete", *Construction and Building Materials*, **65**, pp. 574-582 (2014).
7. Nili, M., Biglarijoo, N. and Razmara, M. "Effects of recycled concrete aggregate, waste glass and plastics on the durability and mechanical properties of concrete", *Sharif Journal of Civil Engineering*, **31.2**(2.1), pp. 111-119 (2015).
8. Mostofinejad, D., Hosseini, M., Nosouhian, F. and et al. "Durability of concrete containing recycled concrete coarse and fine aggregates and milled waste Magnesium sulfate environment", *Journal of Building glass in Engineering*, **29**, pp. 101182 (2020).
9. Hansen, T.C., *Recycling of Demolished Concrete and Masonry*, CRC Press, pp. 336 (1992).
10. Biglarijoo, N., Nili, M., Hosseini, M. and et al. "Modelling and optimisation of concrete containing recycled concrete aggregate and Waste glass", *Magazine of Concrete Research*, **69**(6), pp. 1-11 (2017).
11. Zega, C. and Maio, A. "Use of recycled fine aggregate in concretes with durable requirements", *Waste Management*, **31**(11), pp. 2336-2340 (2011).
12. Bostanci, S. "Use of waste marble dust and recycled glass for sustainable concrete production", *Journal of Cleaner Production*, **251**, pp. 119785 (2020).
13. Zaharieva, R., Buyle-Bodin, F. and Wirquin, E. "Frost resistance of recycled aggregate concrete", *Cement and Concrete Research*, **34**(10), pp. 1927-1932 (2004).
14. Nili, N., Biglarijoo, N. and Mirbagheri, S.A. "A review on the use of various kinds of debris and demolitions in concrete and mortar mixes", 10th International Congress on Advances in Civil Engineering, Middle East Technical University, Ankara, Turkey (2011).
15. Mesgari, S., Akbarnezhad, A. and Xiao, J.Z. "Recycled geopolymer aggregates as coarse aggregates for portland cement concrete and geopolymer concrete: Effects on mechanical properties", *Construction and Building Materials*, **236**, pp. 117571 (2020).
16. Bai, G., Zhu, C., Liu, C. and et al. "An Evaluation of the recycled aggregate characteristics and the recycled aggregate concrete mechanical properties", *Construction and Building Materials*, **240**, pp. 117978 (2020).
17. Kou, S.C., Poon, C.S. and Etcheverria, M. "Influence of recycled aggregates on long-term mechanical properties and pore size distribution of concrete", *Cement and Concrete Composites*, **33**(2), pp. 286-291 (2011).
18. Cabral, A., Schalch, V., Molin, D. and et al. "Mechanical properties modeling of recycled aggregate concrete", *Construction and Building Materials*, **24**(4), pp. 421-430 (2010).
19. Khatib, K. "Properties of concrete incorporating fine recycled aggregate", *Cement and Concrete Research*, **35**(4), pp. 763-769 (2005).
20. Butler, L., West, J.S. and Tighe, S.L. "The Effect of recycled concrete aggregate properties on the bond strength between RCA concrete and steel reinforcement", *Cement and Concrete Research*, **41**(10), pp. 1037-1049 (2011).
21. Nili, M., Hosseini, S.M., Biglarijoo, N. and et al. "Assessing the influences of waste glass and recycled concrete aggregate on properties of concrete", FIB Symposium, Prague, Czech (2011).
22. Evangelista, B. "Mechanical behaviour of concrete made with fine recycled concrete aggregates", *Cement and Concrete Composites*, **29**(5), pp. 397-401 (2007).
23. Biglarijoo, N., Mirbagheri, S.A., Ehteshami, M. and et al. "Optimization of fenton process using response surface methodology and analytic hierarchy process for landfill leachate treatment", *Process Safety and Environmental Protection*, **104:Part A**, pp. 150-160 (2016).
24. Amiri, A. and Sabour, M.R. "Multi-response optimization of fenton process for applicability assessment in landfill leachate treatment", *Waste Management*, **34**(12), pp. 2528-2536 (2014).
25. ASTM C136M-19, "Standard test method for sieve analysis of fine and coarse aggregates, ASTM international, west conshohocken", PA (2019).
26. ASTM C128-01, "Standard test method for density, relative density (Specific Gravity), and absorption of fine aggregate", ASTM International, West Conshohocken, PA (2001).

27. ASTM C143M-15a, "Standard test method for slump of hydraulic-cement concrete", ASTM International, West Conshohocken, PA (2015).
28. "BSI, BS EN 12390, Testing hardened concrete, method of determination of compressive strength of concrete cubes: Part 3", *BSI*, London, UK (2000).
29. ASTM C496-17, "Standard test method for splitting tensile strength of cylindrical concrete specimens", ASTM International, West Conshohocken, PA (2017).
30. ASTM C642-13, "Standard test method for density, absorption, and voids in hardened concrete", ASTM International, West Conshohocken, PA (2013).
31. Alyamac, K.E., Ghafari, E. and Ince, R. "Development of eco-efficient self-compacting concrete with waste marble powder using the response surface method", *Journal of Cleaner Production*, **144**, pp. 192-202 (2017).
32. Sun, Y., Yu, R., Shui, Z. and et al. "Understanding the porous aggregates carrier effect on reducing autogenous shrinkage of Ultra-High Performance Concrete (UHPC) based on response surface method", *Construction and Building Materials*, **222**, pp. 130-141 (2019).